

## دراسة تأثير الشكل الهندسي لاسطوانة مزعنفة طولياً وبزاوية ميل مختلفة على معامل انتقال الحرارة بالحمل الحر

سليم خليفة كاظم\*

تاريخ التسليم: 2004/8/14

تاريخ القبول: 2005/4/17

### الخلاصة

تم في هذا البحث دراسة انتقال الحرارة بالحمل الحر من اسطوانة ذات زعانف طولية مستطيلة المقطع واسطوانة ذات زعانف طولية مثلثة المقطع باستخدام الهواء كوسط ناقل للحرارة لمعرفة الخواص الحرارية، تم وضع النماذج اعلاة بزوايا ميل مختلفة (0°, 30°, 60°, 90°) عن الأفق ولمستوى فيض حراري (الدفق الحراري)  $W/m^2$  (33820, 21751, 12335, 5570, 1459) في حيز مفتوح إلى الهواء الخارجي حيث تنتقل الحرارة بالحمل والإشعاع. وقد وجد أن اكبر كمية حرارة منتقلة بالحمل من الاسطوانة ذات الزعانف المثلثة المقطع وبزاوية ميل قدرها (90°) ولمدى عدد رايلى (Ra)  $(2.543 \times 10^7 - 1.5098 \times 10^6)$

### The Effect of Geometry Form an Longitudinal Trihedron Cylinder with Different Slope Angle on the Free Convection Heat Transfer Coefficient

#### Abstract

This study deals with heat transfer by free convection from the outer surface of two cylinders (Triangular & Rectangular shape finned cylinder). The experimental work was conducted with air as a heat transport medium. The cylinders were fixed at different slope angles (0°, 30°, 60°, 90°) with heat dissipation of (33820, 21751, 12335, 5570, 1459)  $W/m^2$ . In an open medium to the atmospheric air where heat transferred by convection and radiation. The results show that heat transfer from the triangular finned cylinder is maximum at a slope angle (90°) and minimum at the slope angle (0°) with the range from  $[Ra = (2.543 \times 10^7 - 1.5098 \times 10^6)]$ .

## المقدمة

بالنظر للاستخدام الواسع للأنبوب المزعفة ذات المقاطع المختلفة في المبادلات الحرارية بجميع أشكالها وتطبيقاتها مثل أجهزة التكييف المركزي بما تحتويه من مكثفات ومبخرات ومسخحات هواء . لذا عند تطبيق مبادئ انتقال الحرارة بالحمل الحر لابد من مراعاة عامل الكلفة عندما يكون المنتج المراد تصنيعه على مستوى تجاري ، ويتم ذلك عن طريق تقليل حجم المبادل الحراري ووزنه وزيادة كفاءته عن طريق زيادة الفقد الحراري ، إذ توجد عدة طرق لزيادة كفاءة المبادل الحراري (علي شعلان 1997) [5] منها :-

\* زيادة المساحة السطحية بتقليل الحجم (باستخدام الزعانف) .

\* استخدام معدن ذي موصلية حرارية عالية (كالنحاس والألومنيوم) .

\* استخدام أسلوب مناسب لانتقال الحرارة كالحمل القسري أو الجريان المتعاكس السدي يؤدي إلى زيادة الفقد الحراري .

\* استخدام وسط ناقل مناسب يكون ذو سعة حرارية عالية .

\* تغيير الشكل الهندسي للمبادل الحراري .  
درس عدد من الباحثين عملية انتقال الحرارة من اسطوانة بالحمل الحر ، ووجدوا علاقات تجريبية وعددية تحدد العلاقة ما بين عدد رايلى (Ra) وعدد نسلت (Nu)

أجرى الباحث [Stuart (1981)] [1] دراسة نظرية لانتقال الحرارة بالحمل الحر من سطح اسطوانة ملساء ولقيم عدد رايلى تتراوح بين الصفر إلى ما لانهاية اخذ بنظر الاعتبار منطقتين من الحمل الحر الطبقي والحمل الاضطرابي وقد توصل الباحث إلى بناء علاقة تتضمن اضافة عدد برا نتل إلى عدد [Nu,Ra] وكما يلي :

$$Nu=0.36+0.518[Ra/(1+(0.599(Pr)^{0.5625})^{16/n})] \quad (1)$$

حيث توصل الباحث أن قيمة الثابت (n) في المعادلة أعلاه تصبح مساوية إلى الرقم (4).

الرمز	المعنى	الوحدات
At	المساحة الاجمالية	m <sup>2</sup>
Di	القطر الخارجي للانبوب المزعف	mm
Do	القطر الداخلي للانبوب المزعف	mm
Dp	قطر الانبوب الخارجي من دون زعانف	mm
g	التعجيل الارضي	m/s <sup>2</sup>
h	معامل انتقال الحرارة بالحمل الحر	W/m <sup>2</sup> K
k	معامل التوصيل الحراري	W/m K
L	طول الاسطوانة المزعف	mm
m	اس عدد رايلى	
n	اس زاوية الميل للاسطوانة	
Nu	عدد نسلت	
Pr	عدد برانتل	
Q <sub>con</sub>	معدل الحرارة المنتقلة بالحمل	W
Q <sub>q</sub>	معدل الحرارة المفقودة الى الهواء	W
Q <sub>rad</sub>	معدل الحرارة المنتقلة بالاشعاع	W
Ra	عدد رايلى	
T <sub>a</sub>	درجة حرارة الهواء	K
T <sub>b</sub>	درجة الحرارة المجملية	K
T <sub>s</sub>	درجة حرارة السطح	K
t	ارتفاع الزعانف الطولية	mm
β	معامل التمدد الحجمي	1/K
ε	الانبعاثية	
σ	ثابت ستيفن-بولتزمان	W/m <sup>2</sup> K <sup>4</sup>
υ	اللزوجة الكينماتية	m <sup>2</sup> /s

انتقال الحرارة عندما تكون النسبة الباعية صغيرة ويكون الأنبوب في قاعدة المجرى .  
و أجرى الباحث (علي شعلان (1997))  
[5] دراسة عملية على صنف من  
الاسطوانات المزعنفة حلقيًا تُصَلِّص بينها  
مسافة متغيرة المقدار (X) والتي تتغير  
بأضعاف قيمة قطر الزعنف الخارجي حيث  
تراوحت بين (X = (2-8) D) ولمدى  
عدد رايولي يتراوح بين  
( $6 \cdot 10^6 - 1.5 \cdot 10^6$ ) وقد توصل الباحث  
إلى أن إضافة الزعانف إلى الاسطوانات  
تؤدي إلى تحسين فقد الحرارة من سطحها  
إذ أن وجود الزعانف يظهر تأثيراً تبريدياً  
عند نسبة مسافة فاصلة ( $X = 4d$ ) ، مماثل  
نفس التأثير لو كانت الاسطوانات بدون  
زعانف عند ( $X=7d$ ) وبهذا قلل من حجم  
المبادل الحراري بالاسطوانات المزعنفة إلى  
نصف حجم المبادل الحراري بالسطح  
الأمس .

كما أجرى الباحثون (حسن كريم ، زينة  
خليفة ، أركان فوزي) (2000) [6] دراسة  
عملية لمعرفة تأثير زاوية ميل اسطوانة  
مزعنفة حلقيًا على انتقال الحرارة بالحمل  
الحر في حيز مفتوح لمدى عدد رايولي  
يتراوح بين ( $9.86 \cdot 10^4 - 49.6 \cdot 10^4$ )  
ولمستويات فرق جهد تتراوح بين  
(100 - 20) فولت ولزوايا ميل تتراوح بين  
( $0^\circ - 90^\circ$ ) وقد توصلوا إلى أن الاسطوانة  
المزعنفة حلقيًا تعطي أعلى كمية حرارة  
منتقلة عند الزاوية ( $0^\circ$ ) أي في الوضع  
الأفقي وقد أوجدوا المعادلة التجريبية التالية:-

$$Nu = C \cdot (\theta)^n \cdot (Ra)^m$$

$$C = 0.054$$

$$n = -0.097$$

$$m = 0.592$$

(ولتشرط الحدبة  $1^\circ \leq \theta \leq 89^\circ$  حيث أن  
الزاوية بالدرجات).

أجرت الباحثة (زينة خليفة (2000)) [7]  
دراسة عملية لانتقال الحرارة بالحمل الحر  
من اسطوانة ذات زعانف حلقيّة مستطيلة

أجرى الباحثان ( Sparrow & Chrysler )  
(1981)) [2] دراسة انتقال الحرارة بالحمل  
الحر من اسطوانة أفقية قصيرة ملامسة  
لصفيحة مستوية عمودية بثبوت الفيزي  
الحراري ولقيم عدد رايولي تتراوح بين  
( $1.4 \cdot 10^4 - 1.4 \cdot 10^5$ ) وتغيير موقع  
الاسطوانة على مدى ثلاثة ارتفاعات من  
الصفيحة وتوصلا إلى علاقة تجريبية لجميع  
الحالات بالصيغة الآتية.

$$Nu = C \cdot Ra^m \quad (2)$$

أجرى الباحث ( Yassen (1978) ) [3]  
دراسة عملية على اسطوانة غير مزعنفة  
مانلة بتغير زاوية ميلها بين ( $0^\circ - 90^\circ$ )  
إذ تكون أفقية عند الزاوية ( $90^\circ$ ) مستخدماً  
في ذلك اسطوانتين قطر الأولى (38 mm)  
والثانية (47 mm) وكلتاها بطول (955  
mm) . التجارب أجريت بثبوت الفيزي  
الحراري لقيم عدد رايولي تتراوح بين  
( $0.28 \cdot 10^6 - 3.441 \cdot 10^6$ ) وتوصل إلى  
العلاقة العامة الآتية :-

$$Nu = [0.665 - 0.4885(\sin\theta)] Ra^{1/4 + \frac{1}{174}(12\sin\theta)} \quad (3)$$

واستنتج أن وضع الاسطوانة بشكل شاقولي  
افضل ، إذ لاحظ تزايد لقيم معامل انتقال  
الحرارة بالحمل بزيادة الارتفاع إلى حد  
معين ثم يبدأ بالانخفاض .

و أجرى الباحث ( Hassan (1998) ) [4]  
مجموعة من التجارب على أنبوب مزعنف  
ذي زعانف مربعة الشكل ، مثبت أفقياً في  
مجرى عمودي بين جدارين مفتوح من  
الأعلى والأسفل إلى الهواء الخارجي ودرس  
تأثير المسافة العمودية لموقع الأنبوب داخل  
المجرى والمسافة بين حافة الزعانف  
وجدران المجرى وتوصل إلى العلاقة  
الآتية:-

$$Nu/Nu_r = a + b \cdot Ra + c \cdot Ra^2 + d \cdot Ra^3 \quad (4)$$

إذ أن ثوابت متغيرة تعتمد  
على قيمة المسافة الفاصلة بين حافة الزعانف  
والجدار وتوصل إلى إن المجرى يحسن من

والتطبيقية تم استخدام المعادلات المدرجة أدناه من (5) إلى (11) حيث تم حساب الحرارة المتولدة والحرارة المنقولة بالإشعاع والحرارة المنقولة بالحمل الحر وعددي نسلت و رايلى ودرجة الحرارة المجهلة ومعامل التمدد الحجمي.

$$Q_q = I \cdot V \quad (5)$$

$$Q_q = Q_{conv.} + Q_{rad.} \quad (6)$$

$$Q_{conv.} = hA_t (T_s - T_a) \quad (7)$$

$$Q_{rad.} = \sigma \cdot A_t \cdot \epsilon (T_s^4 - T_a^4) \quad (8)$$

المتغيرات اللابعدية التي تمثل من عدد نسلت (Nu) وعدد رايلى (Ra) معرفة كما يلي

$$Nu = h D_o / k$$

$$Ra = (\beta \cdot g \cdot D_o^3 (T_s - T_a) / \nu^2) \cdot Pr \quad (9)$$

أما خواص الهواء فقد تم حسابها عند معدل درجة حرارة سطح الأنابيب والهواء المحيط

$$T_b = (T_a + T_s) / 2 \quad (10)$$

ومقدار معامل التمدد الحجمي

$$\beta = 1 / T_b \quad (11)$$

إذ تم إجراء مقارنة للنتائج بين قسم عدد رايلى (Ra) وعدد نسلت (Nu) لكل نموذج اختبار ولكل زاوية محددة في البحث. النتائج والمناقشة:

بعد إجراء التجارب العملية لقيم عدد رايلى تتراوح بين  $(1.5098 \cdot 10^8 - 2.543 \cdot 10^7)$  ولقياس حراري مختلف يتراوح بين (510 - 22) واط ولزاوية ميل عن المحور العمودي تتراوح بين  $(0^\circ - 90^\circ)$ . تم حساب قيم عدد نسلت (Nu) وعدد رايلى (Ra) لكل حالة من الحالات أعلاه ورسمها لكل نموذج اختبار كما في الأشكال (2,3) على التوالي حيث أظهرت النتائج ما يلي :-

أ - أن علاقة عدد (Nu) مع عدد (Ra) لا يمكن تمثيلها بخط مستقيم لذا تم استخدام معادلات لوغاريتمية و أعطت نتائج مقبولة

ومثلثة المقطع ومقارنتها مع اسطوانة غير مزعفة ولزاوية الميل المستخدمة في المصدر [6] ولمستويات حرارية  $W(33820, 21751, 12335, 5570, 1459) / m^2$  وقد توصلت إلى أن أعلى كمية حرارة منقولة بالحمل من الاسطوانة ذات الزعانف الحلقيّة المثلثة المقطع وبزاوية ميل مقدارها  $(0^\circ)$  ولمسدى عسدد رايلى يتراوح بين  $(4.9 \cdot 10^6 - 10.4 \cdot 10^3)$ .

بعد الاطلاع على نتائج البحوث السابقة ، تبين ان أي منها لم ينطرق الى دراسة تأثير زاوية ميل اسطوانة مزعفة طولياً على معامل انتقال الحرارة بالحمل الحر ولغرض إيجاد الوضع الأفضل بزيادة كمية الحرارة المنقولة استخدام هذا الشكل من الأنابيب المزعفة.

#### نماذج الاختبار:

يوضح الشكل (1) أنموذجي الاختبار المستخدمين بشكل مجسم حيث صممت بقياسات مطابقة للقياسات المستعملة عملياً في المسخنات وقد تم تصنيعها من الألمنيوم الصلب بقطر خارجي  $(D_o = 48 \text{ mm})$  وتم عمل ثقب على طول النموذج بقطر  $(D_i = 16 \text{ mm})$  لوضع المسخن الكهربائي داخله . تم عمل الزعانف الطولية ذات المقطع المثلث بواسطة ماكينة التفريز لذا ألغيت المقاومة الحرارية بينها وبين الأنابيب حيث أن ارتفاع الزعنف  $(t = 13 \text{ mm})$  وبطول  $(L = 300 \text{ mm})$  وبعده (8) زعنف للنموذج الأول موزعة على زاوية  $(45^\circ)$  وبعده (8) زعنف مستطيلة المقطع موزعة على زاوية  $(45^\circ)$  على المحيط . تم استخدام مسخن كهربائي قدرته (1) كيلو واط وتم الاختبار بتثبيت النماذج على مسند حديدي تم تصنيعه بشكل يمكننا من الحصول على زوايا الميل المحددة في البحث والتي تتراوح بين  $(0^\circ - 90^\circ)$  عن الأفق .

الحسابات:

لحساب خواص انتقال الحرارة بالحمل الحر من الأنابيب المزعفة وهي الحالة العمائسة

2- توضح الأشكال (4,5,6,7) ان كمية الحرارة المنقولة بالحمل الحر تزداد بزيادة عدد رايلى (Ra) كما أنها تزداد بزيادة زاوية الميل حيث تصبح أعلى ما يمكن عند زاوية  $(\theta = 90^\circ)$  وأقل ما يمكن عند زاوية  $(\theta = 0^\circ)$  ويعزى ذلك إلى أن الحزوز الطولية المثلثة والمستطيلة المقطع لنموذج الاختبار عندما يكون في وضع عمودي تعمل على سريان الهواء الساخن بشكل يكاد يكون منتظماً وتكون أقصى قوة رافعة للهواء في هذه الحالة أما في حالة ميل النموذج بزاوية  $(30^\circ, 60^\circ)$  فان القوة الرافعة للهواء تتناسب مع  $(\sin\theta)$  أي تكون المركبة العمودية للقوة الفعلية هي المؤثرة وفي حالة وضع النموذج بزاوية  $(\theta = 0^\circ)$  تعمل الزعانف عمل مصدات تعيق سريان الهواء مما يؤدي إلى اضطراب الجريان وبالتالي انخفاض معدل الفقد الحراري من الأنابيب وتسخين الزعانف نفسها كما توضح الأشكال أن كمية الحرارة المنقولة من أنموذج الاختبار ذو (8) زعنفة مثلثة المقطع أعلى من النموذج ذو (8) زعنفة مستطيلة المقطع.

## الاستنتاجات:

أظهرت النتائج التي تم الحصول عليها من خلال التجارب العملية لدراسة الخواص الحرارية لاسطوانة مزعفة طولياً ذات مقطع مثلث وبعد معالجة هذه النتائج يمكن بناء الاستنتاجات الآتية :-

1- ان المعادلة التي تحكم العلاقة بين عدد (Nu) وعدد (Ra) لزوايا ميل مختلفة يمكن تمثيلها بالشكل الآتية :-

$$Nu=0.03 (\theta)^{0.532} * (Ra)^{1.593}$$

2- معامل انتقال الحرارة بالحمل الحر يكون أعلى في حالة الاسطوانة ذات (8) زعنفة مثلثة المقطع عما في الاسطوانة ذات (8) زعنفة مستطيلة المقطع.

جدا وكانت المعادلات الخاصة لكل منحني ولكل نموذج حسب الشروط الحدية كما يلي :-

أنموذج الاختبار (8) زعنفة مثلثة المقطع:

$$\theta = 0^\circ Y= 1.40399 X - 2.25759$$

$$\theta = 30^\circ Y=1.48083X - 2.40391$$

$$\theta = 60^\circ Y=1.49397X - 2.42405$$

$$\theta = 90^\circ Y=1.50816 X - 2.44565$$

أنموذج الاختبار (8) زعنفة مستطيلة المقطع:

$$\theta = 0^\circ Y=1.76686 X - 3.03874$$

$$\theta = 30^\circ Y= 1.76417 X - 3.0181$$

$$\theta = 60^\circ Y=1.67471X - 2.82292$$

$$\theta = 90^\circ Y=1.64845X - 2.75683$$

حيث ان:

$$Y=\text{Log Nu}, X=\text{Log Ra}$$

كما تم معالجة الحيوذ في هذه المنحنيات وذلك برسم قيمة الثابت الموجود في كل من المعادلات أعلاه مع الزاوية الخاصة به كما في الشكل (8) حيث أن العلاقة التي تربط هذا الثابت مع الزاوية بشكل عام هي

$$C = m (\theta)^n \quad (12)$$

وبالتعويض عن قيمة الثابت أصبحت المعادلة العامة لنماذج الاختبار للشروط الحدية  $(1^\circ \leq \theta \leq 90^\circ)$  كما يلي :-

أ- أنموذج الاختبار 8 زعنفة مستطيلة المقطع:

$$Nu=0.021(Ra)^{1.713} * 7.0345\theta^{0.46923} \quad (13)$$

ب- أنموذج الاختبار 8 زعنفة مثلثة المقطع:

$$Nu=0.0397 (Ra)^{1.471} * 9.58714 \theta^{0.595429} \quad (14)$$

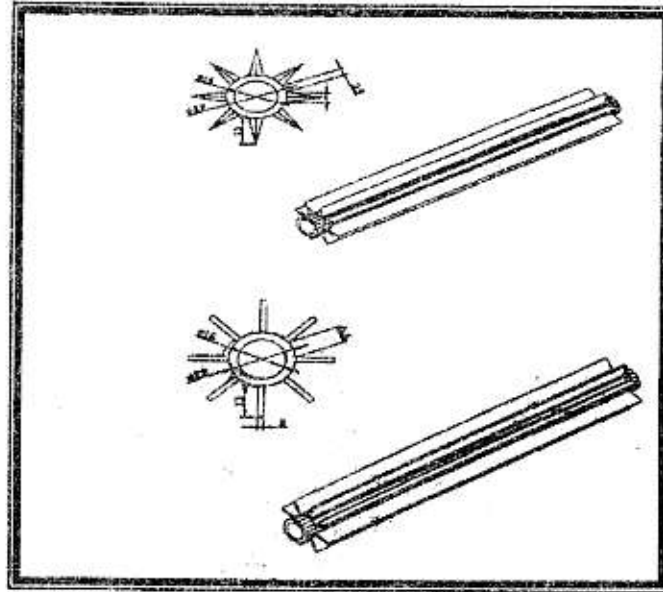
حيث تحتوي على تأثير الزاوية كدالة لعدد نسلت و رايلى وبالتعويض عن مقدار الزاوية  $(\theta)$  بما يساويها أعطت تطابق في القيم بنسبة خطأ لا تتجاوز (10%).

5. علي شعلان موحان "تحسين انتقال الحرارة بالحمل الحر من صنف عمودي لاسطوانات أفقية مزعفة موضوعة داخل مجرى أدبيساتي". رسالة مقدمة إلى قسم هندسة المكين والمعدات في الجامعة التكنولوجية، 1997.
6. حسن كريم ، زينة خليفة ، أركان فوزي "دراسة تأثير زاوية ميل اسطوانة مزعفة حلقيًا على انتقال الحرارة بالحمل الحر لسي حيز مفتوح" مجلة التقني - هيئة المعاهد الفنية، 2000.
7. زينة خليفة كاظم "دراسة تأثير زاوية ميل اسطوانة ذات زعانف مختلفة المقطع على انتقال الحرارة بالحمل الحر في حيز مفتوح" المؤتمر القطري الأول للهندسة الميكانيكية والمعادن وهندسة المواد / كلية الهندسة / جامعة الكوفة، 2000.

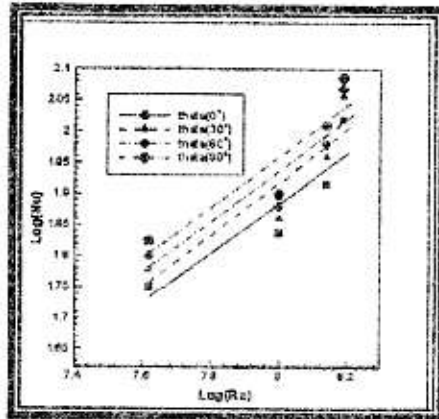
3- تأثير عدد رايلى (Ra) يكون اكبر من تأثير زاوية الميل لنموذجي الاختبار المستخدمة في البحث .

#### المصادر

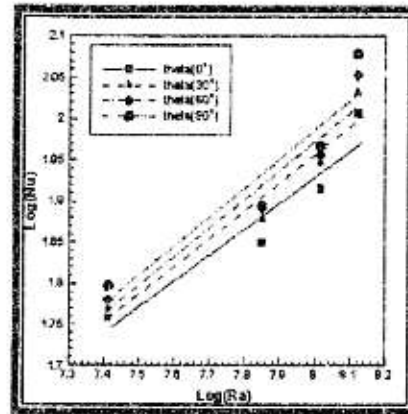
1. Sturt.W.Churchilf and Hmbet H.s.CHU."Corrlating Equation for laminar and turbulent free convection from a horizontal cylinder"Int.J.Heat&Mass Transfer Vol.103, pp522-532, 1981.
2. Sparrow E.M. and Chrysler "Natural Convection heat transfer coefficient for a short horizontal cylinder attached to a vertical plate", transaction of ASME Vol. 103, PP 630-637, 1981.
3. Yassen K. salman "Laminar natural convection heat transfer from the out side surface of an inclined cylinder", thesis M.Sc, University of Technology, 1978.
4. Hassan. K. Abdullah "Improved heat transfer from horizontal finned tube between two adiabatic walls" مجلة أبحاث "سلسلة العلوم الأساسية والهندسية"، جامعة اليرموك ، الأردن، المجلد السابع، العدد الأول 1998، ص ص 80-65.



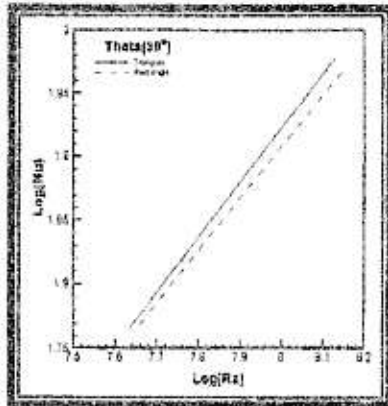
شكل (1) يبين الأشكال المجسمة لمقاطع الاختبار



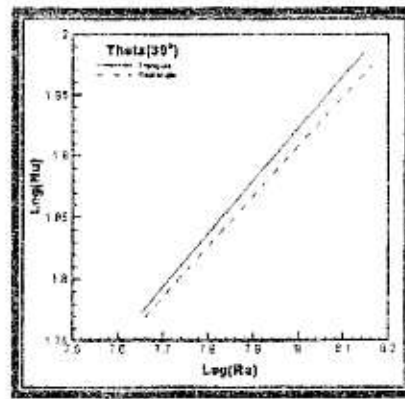
شكل (3) يمثل العلاقة بين عدد  $(Nu)$  وعدد  $(Ra)$  لمختلف زوايا الميلان لاسطوانة محززة طولياً مسطحة المقطع



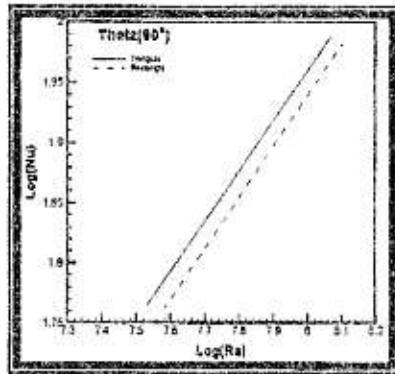
شكل (2) يمثل العلاقة بين عدد  $(Nu)$  وعدد  $(Ra)$  لمختلف زوايا الميلان لاسطوانة محززة طولياً مثلبة المقطع



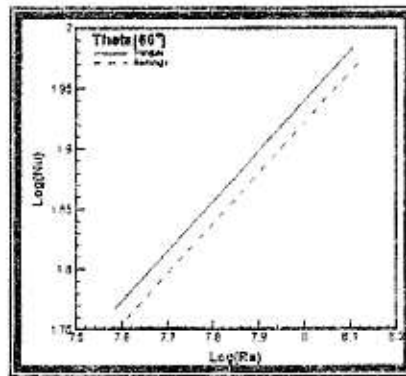
شكل (5) يمثل العلاقة بين عدد (Nu) وعدد (Ra) لمختلف نماذج الاختبار عند زاوية  $30^\circ$



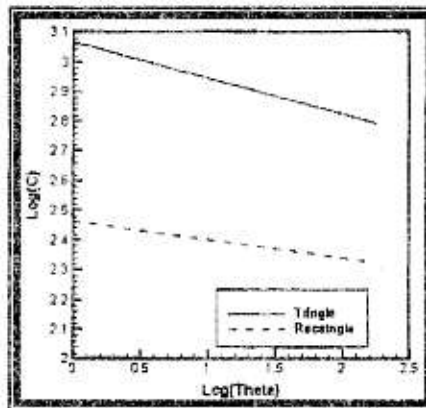
شكل (4) يمثل العلاقة بين عدد (Nu) وعدد (Ra) لمختلف نماذج الاختبار عند زاوية  $0^\circ$



شكل (7) يمثل العلاقة بين عدد (Nu) وعدد (Ra) لمختلف نماذج الاختبار عند زاوية  $90^\circ$



شكل (6) يمثل العلاقة بين عدد (Nu) وعدد (Ra) لمختلف نماذج الاختبار عند زاوية  $60^\circ$



شكل (8) بين العلاقة بين زاوية الميلان والقيمة اللوغاريتمية لثابت